

**PP 068 "Reducción de la Vulnerabilidad y Atención de Emergencia por Desastres" Producto:
"Estudios para la estimación de los riesgos de desastres"**

Actividad: "Generación de información y monitoreo del Fenómeno El Niño"

Instituto Geofísico del Perú

**INFORME TÉCNICO N° PpR/EI Niño-IGP/2018-12
17 /01/2019**

Advertencia: El presente informe sirve como insumo para la Comisión Multisectorial para el Estudio Nacional del Fenómeno El Niño (ENFEN). El pronunciamiento colegiado del ENFEN es la información oficial definitiva. La presente información podrá ser utilizada bajo su propia responsabilidad.

Resumen

Según el valor del Índice Costero el Niño (ICEN), basado en los datos de ERSSTv3 para el mes de noviembre de 2018, la condición climática para la costa peruana es Cálida Débil (ICEN = 0,54 °C) , mientras que el valor estimado con datos de OISSTv2 indicaron que la condición climática es Neutra (ICENOI = -0,34 °C). Los valores temporales del ICEN (ICENtmp) y el ICENOI (ICENOItmp) para los meses de diciembre 2018 y enero 2019, coinciden en mostrar condiciones Cálidas Débiles. En lo que respecta al Pacífico Central, el valor del Índice Oceánico Niño (ONI) de la NOAA indica que en noviembre de 2018 se tuvo una condición Cálida Débil (0,87 °C); según los estimados temporales, para el mes de diciembre la condición sería Cálida Débil.

En base al análisis de los datos y resultados de los modelos numéricos, se espera que continúe la actividad de la onda Kelvin cálida hasta el mes de enero en el extremo oriental, además se espera el arribo de una onda Kelvin fría a finales de enero e inicios de febrero. Finalmente, entre fines de febrero e inicios de marzo, se espera que arribe la onda Kelvin cálida.

Según el promedio de los siete modelos numéricos climáticos de NMME, inicializados con condiciones del mes de enero de 2019, se esperan condiciones Cálidas Débiles a condiciones Neutras para el Pacífico oriental hasta el mes de julio de 2019.

En la región del Pacífico central ecuatorial, el promedio de los modelos de NMME indican condiciones Cálidas Débiles entre los meses de enero y mayo de 2019.

Introducción

Empezando el año 2016, en el marco del programa presupuestal 068 "Reducción de la Vulnerabilidad y Atención de Emergencia por Desastres", algunas instituciones que conforman la Comisión Multisectorial para el Estudio del Fenómeno El Niño (ENFEN), bajo la coordinación del IMARPE, participan en el producto "Estudios para la estimación de los riesgos de desastres", en el cual el IGP contribuye con la actividad denominada "Generación de información y monitoreo del Fenómeno El Niño". El presente informe técnico es generado en el marco de esta actividad, el cual es entregado al IMARPE, como coordinador de la actividad y presidencia del ENFEN, para ser utilizado como insumo en la evaluación periódica que realiza el ENFEN. El informe técnico generado posteriormente por el ENFEN será la información oficial sobre el monitoreo y pronóstico del Fenómeno El Niño y asociados en el

Perú

Índice Costero El Niño

Utilizando los datos de Temperatura Superficial del Mar (TSM) promediados sobre la región Niño1+2; actualizados hasta el mes de diciembre de 2018 del producto ERSST v3b, generados por el *Climate Prediction Center (CPC)* de la *National Oceanic and Atmospheric Administration (NOAA, EEUU)*; se ha calculado el Índice Costero El Niño (ICEN; ENFEN 2012) hasta el mes de noviembre de 2018 y cuyos valores se muestran en la Tabla 1. El valor de noviembre corresponde a una condición Cálida Débil.

Año	Mes	ICEN (°C)	Condiciones
2018	Agosto	-0.35	Neutra
2018	Setiembre	-0.18	Neutra
2018	Octubre	0.16	Neutra
2018	Noviembre	0.54	Cálida Débil

Tabla 1. Valores recientes del ICEN (ERSST v3b).
(Descarga: <http://www.met.igp.gob.pe/datos/icen.txt>)

Para los meses más recientes se generan versiones preliminares y temporales de este índice (ICENtmp) combinando ERSST con otras fuentes.

Año	Mes	ICENtmp	Condiciones	Fuente
2018	Diciembre	0.68	Cálida Débil	2018/11-12: ERSST; 2019/01: NMME
2019	Enero	0.60	Cálida Débil	2018/12: ERSST; 2019/01- 02: NMME

Tabla 2. Estimados preliminares del ICEN (ICENtmp)

Según los valores del ICENtmp, se estima que en los meses de diciembre de 2018 y enero de 2019 las condiciones serían del tipo Cálidas Débiles. El ICEN de diciembre será confirmado cuando se disponga del valor de ERSSTv3 para el mes de enero de 2019.

Los valores del ICENOI, calculado de la misma forma que el ICEN pero usando los datos mensuales de OISST v2 y las climatologías de ERSST v3b (<http://www.met.igp.gob.pe/datos/climNino12.txt>), se muestran en la Tabla 3.

Año	Mes	ICENOI (°C)	Condiciones
2018	Agosto	-0.50	Neutro
2018	Setiembre	-0.33	Neutro
2018	Octubre	-0.06	Neutro

2018	Noviembre	0.34	Neutro
------	-----------	-------------	--------

Tabla 3. Valores recientes del ICENOI (OISST.v2)

Igualmente, se generaron las versiones preliminares y temporales de este índice (ICENotmp), combinando los datos de OISSTv2 con otras fuentes.

Año	Mes	ICENOItmp	Condiciones	Fuente
2018	Diciembre	0.48	Cálida Débil	2018/11-12: OISSTv2; 2019/01: NMME
2019	Enero	0.44	Cálida Débil	2018/12: OISSTv2; 2019/01-02: NMME

Tabla 4. Estimados preliminares del ICENOI (ICENOItmp)

Los valores del ICENOItmp estimados para diciembre de 2018 y enero de 2019 corresponden a condiciones Cálidas Débiles. El ICENOI de diciembre será confirmado cuando se disponga del valor de OISSTv2 para el mes de enero de 2019.

Por otro lado, para el Pacífico Central (Niño 3.4), el ONI (*Ocean Niño Index* en inglés; <http://www.cpc.ncep.noaa.gov/data/indices/oni.ascii.txt>), actualizado por la NOAA al mes de noviembre de 2018, es de 0,87 °C, correspondiente a condición Cálida Débil¹.

Año	Mes	ONI (°C)	Categoría
2018	Agosto	0.14	Neutro
2018	Setiembre	0.50	Neutro
2018	Octubre	0.72	Cálida Débil
2018	Noviembre	0.87	Cálida Débil

Tabla 5. Valores recientes del ONI.(Descarga:

<http://www.cpc.ncep.noaa.gov/data/indices/oni.ascii.txt>, se trabaja solo con los últimos datos en tiempo real, por lo que puede haber discrepancias para los meses anteriores)

Los valores estimados (ONItmp), combinando observaciones y pronósticos, indican condición Cálida Débil para los meses de diciembre de 2018 y enero de 2019. (Tabla 6).

Año	Mes	ONItmp	Condiciones	Fuente
2018	Diciembre	0.89	Cálida Débil	2018/11-12: ERSSTv5; 2019/01: NMME
2019	Enero	0.82	Cálida Débil	2018/12: ERSSTv5; 2019/01-02: NMME

Tabla 6. Estimados preliminares del ONI (ONItmp)

¹ Los umbrales para establecer la categoría de condiciones cálidas o frías débiles, moderadas, fuertes, y muy fuertes usando el ONI son ± 0.50 , ± 1.00 , ± 1.50 , y ± 2.00 , respectivamente (Nota Técnica ENFEN, 02-2015).

Diagnóstico del Pacífico Ecuatorial

En la región Niño 3.4 , según los datos observados (IR, MW, OSTIA) las anomalías de la TSM diaria, continuaron dentro de las condiciones cálidas débiles, manteniéndose en el orden de 0.8 a 1.0 °C (ver Figura 1a), descendiendo a valores cercanos a 0.7 °C en los primeros días del mes de enero. Para la región Niño 1+2, la anomalía de la TSM indicó valores entre 0.8 a 0.4 °C (Figura 1b).

El promedio mensual de las anomalías de esfuerzo de viento zonal en el Pacífico central (160°E-160°W; 5°S-5°N), para el mes de diciembre, mostró anomalías del este según los datos ASCAT ($1.6 \times 10^{-2} \text{Nm}^{-2}$) (Figura 2). En la primera semana de diciembre se observaron anomalías positivas poco intensas en el Pacífico oeste (180°-150°W) y en la segunda semana se observaron anomalías negativas en la región (180°-140°W). A fines del mes de diciembre se observaron anomalías positivas intensas entre 130°E y 155°E , según los datos ASCAT (Figura 3), asimismo, en la primera semana de enero se observó una anomalía de vientos del oeste alrededor de 160°E (Figura 7 y 8). La inclinación de la termoclina ecuatorial muestra menor inclinación en relación a su promedio, y el contenido de calor indica valores alrededor de su normal (Figura 5). Además se observa la isoterma de 20°C en su posición climatológica (95°W, 2°S-2°N) (Figura 6).

En el Pacífico ecuatorial Según los datos de ARGO, se puede apreciar una secuencia de ondas Kelvin cálidas, desde el este al oeste: Una onda cálida al este de 110°W; una onda fría, entre 160° y 120°W y una onda cálida, entre 160°E y 160°W. La información de altimetría según el producto DUACS (Figura 4) muestra una onda Kelvin cálida intensa entre 160°E y 160°W.

Pronóstico a corto plazo con modelo de ondas y observaciones

Se espera que la onda Kelvin fría arribe al extremo occidental a fines de enero e inicios de febrero (Figura 7 y 8). Mientras que las proyecciones teóricas indican que la onda Kelvin cálida, formada por pulsos de viento del oeste en el extremo occidental debe arribar a fines de febrero e inicios de marzo (Figura 7 y 8).

Pronóstico estacional con modelos climáticos

Para el Pacífico oriental (región Niño 1+2), según los 7 modelos climáticos de NMME (CFSv2, GFDL_CMC2.1, GFDL_FLOR, NASA_GEOS5v2, NCAR_CCM4, CMC1 y CMC2), con condiciones iniciales del mes de enero de 2019, se indica, en promedio, condiciones Cálidas Débiles para el mes de enero y condiciones Neutras para el periodo de febrero a julio de 2019, solo los modelos CMC1 y CMC2 indican condiciones Cálidas Débiles hasta marzo de 2019 (ver Tabla 7 y Fig. 10).

Para el Pacífico central (región Niño 3.4), según los modelos de NMME inicializados en enero, el promedio de los 7 modelos indican condiciones Cálida Débiles de enero a mayo de (ver Tabla 8 y Fig. 11).

Modelo	NDE	DEF	EFM	FMA	MAM	AMJ	MJJ	JJA
CFS2		0.32	0.27	0.41	0.59	0.74	0.88	0.95
CMC1		0.59	0.58	0.49	0.44	0.41	0.39	0.29
CMC2		0.60	0.56	0.46	0.38	0.26	0.20	0.20
GFDL		0.43	0.41	0.32	0.18	-0.30	-0.57	-0.49
NASA		0.39	0.17	-0.12	-0.30	-0.43	-0.47	-0.50
GFDL_FLOR		0.38	0.24	0.13	-0.04	-0.07	0.11	0.30
NCAR_CCSM4		0.37	0.34	0.51	0.55	0.55	0.45	0.35
NMME		0.44	0.37	0.31	0.26	0.17	0.14	0.16
ICENtmp	0.48							

Tabla 7. Pronósticos del ICEN con diferentes modelos climáticos con condiciones iniciales de enero de 2019

Modelo	NDE	DEF	EFM	FMA	MAM	AMJ	MJJ	JJA
CFS2		0.92	0.93	1.00	1.01	0.99	0.97	0.96
CMC1		0.71	0.52	0.39	0.31	0.21	0.10	-0.03
CMC2		0.83	0.75	0.70	0.61	0.53	0.45	0.37
GFDL		0.96	0.98	0.93	0.81	0.63	0.33	-0.10
NASA		0.67	0.51	0.42	0.26	0.12	0.07	0.08
GFDL_FLOR		0.95	0.95	0.95	0.89	0.83	0.75	0.65
NCAR_CCSM4		0.93	0.93	0.92	0.86	0.79	0.71	0.56
NMME		0.85	0.80	0.76	0.68	0.59	0.48	0.36
ONItmp	0.89							

Tabla 8. Pronósticos del ONI con diferentes modelos climáticos con condiciones iniciales de enero de 2019

Conclusiones:

1. El ICEN (SSTOI) para noviembre de 2018 fue de 0.34 (Neutro) y el ICENtmp para diciembre y enero fueron 0.48 y 0.44 respectivamente (condiciones Cálida Débil). Usando ERSSTv3 mensual para el cálculo (ICEN), los valores correspondientes son 0.54 (Cálida Débil), y los temporales para diciembre y enero son cálidos débiles 0.68 y 0.60, respectivamente. El ICEN calculado con la versión 5 de ERSST para noviembre es 0.57 (Cálida Débil) y los temporales están dentro del rango de Cálidas Débiles (0.66 y 0.53).
2. En el Pacífico central, el ONI (No oficial) de noviembre (OND) es 0.87 y corresponde a condiciones Cálida Débil y el estimado para diciembre también sería de condición Cálida Moderada.
3. Según ASCAT, entre la segunda quincena del mes de diciembre 2018 y la primera quincena del enero de 2019, se desarrollaron anomalías de viento del oeste alrededor de 140°E y la línea de cambio de fecha.
4. Basado en los datos de ARGO, la termoclina ecuatorial muestra una inclinación menor a su promedio, y el contenido de calor indica valores dentro de su normal.
5. Según los datos de ARGO, se puede apreciar una secuencia de ondas Kelvin cálidas, desde el este al oeste: Una onda cálida al este de 110°W; una onda fría, entre 160° y 120°W y una onda cálida, entre 160°E y 160°W. Esto coincide con los resultados de los modelos numéricos.
6. La información de altimetría muestra una onda Kelvin cálida intensa entre 160°E y 160°W.
7. Se espera que la onda Kelvin fría arribe al extremo occidental a fines de enero e inicios de febrero.
8. Las proyecciones teóricas indican que la onda Kelvin cálida, formada por pulsos de viento del oeste en el extremo occidental debe arribar a fines de febrero e inicios de marzo.
9. Para el Pacífico Oriental (región Niño 1+2), los modelos de NMME con condiciones iniciales de enero en promedio indican condiciones neutras de febrero a julio de 2019. Solo los modelos CMC1 y CMC2 indican condiciones Cálidas Débiles hasta marzo de 2019.
10. Para el Pacífico central (Región Niño 3.4), el promedio de los modelos de NMME indican condiciones Cálidas Débiles de enero a mayo de 2019.

Bibliografía

- **Aparco J., K. Mosquera y K. Takahashi**, 2014: Flotadores Argo para el cálculo de la anomalía de la profundidad de la termoclina ecuatorial (Aplicación Operacional), Boletín Técnico "Generación de modelos climáticos para el pronóstico de la ocurrencia del Fenómeno El Niño", Instituto Geofísico del Perú, Mayo, 1, 5.
- Cravatte, S., W. S. Kessler, N. Smith, S. E. Wijffels, Ando, K., Cronin, M., Farrar, T., Guilyardi, E., Kumar, A., Lee, T., Roemmich, D., Serra, Y., Sprintall, J., Strutton, P., Sutton, A., **Takahashi, K.** y Wittenberg, A., 2016: First Report of TPOS 2020. GOOS-215, 200 pp. [<http://tpos2020.org/first-report>]
- DiNezio, P., 2016: Desafíos en la predicción de La Niña, Boletín Técnico "Generación de modelos climáticos para el pronóstico de la ocurrencia del Fenómeno El Niño", Instituto Geofísico del Perú, 3 (9), 4-8.
- **ENFEN 2012**: Definición operacional de los eventos "El Niño" y "La Niña" y sus magnitudes en la costa del Perú. *Nota Técnica ENFEN*.
- **ENFEN 2015**: Pronóstico probabilístico de la magnitud de El Niño costero en el verano 2015-2016. *Nota Técnica ENFEN 02-2015*.
- Huang, B., Thorne, P.W, Banzon, V. F., Boyer, T., Chepurin, G., Lawrimore, J. H., Menne, M. J., Smith, T. M., Vose, R. S., Zhang, H.-M., 2017: Extended Reconstructed Sea Surface Temperature version 5 (ERSSTv5): Upgrades, validations, and intercomparisons, *J. Climate*, doi: [10.1175/JCLI-D-16-0836.1](https://doi.org/10.1175/JCLI-D-16-0836.1)
- Kug, J.-S., Jin, F.-F., An, S.-I., 2009: Two types of El Niño events: Cold tongue El Niño and warm pool El Niño. *J. Climate* 22, 6, 1499–1515, doi:10.1175/2008JCLI2624.1.
- Lavado-Casimiro, W., **Espinoza, J. C.**, 2014: Impactos de El Niño y La Niña en las lluvias del Perú (1965-2007), *Revista Brasileira de Meteorologia*, 29 (2), 171-182.
- Meehl G, Hu A, Teng H, 2016: Initialized decadal prediction for transition to positive phase of the Interdecadal Pacific Oscillation. *Nature Communications*, doi: 10.1038/ncomms11718
- **Morera, S. B.**, Condom, T., Crave, A., Steer, P., and Guyot, J. L., 2017: The impact of extreme El Niño events on modern sediment transport along the western Peruvian Andes (1968-2012). *Scientific Reports*, v. 7, No. 1, p. 11947 DOI:10.1038/s41598-017-12220-x.
- **Mosquera, K.**, 2009: Variabilidad Intra-estacional de la Onda de Kelvin Ecuatorial en el Pacífico (2000-2007): Simulación Numérica y datos observados. Tesis para obtener el grado de Magister en Física - Mención Geofísica en la Universidad Nacional Mayor de San Marcos.
- **Mosquera, K., B. Dewitte y P. Lagos**, 2010: Variabilidad Intra-estacional de la onda de Kelvin ecuatorial en el Pacífico (2000-2007): simulación numérica y datos observados. *Magistri et Doctores*, Revista de la Escuela de Posgrado de la Universidad Nacional Mayor de San Marcos, Lima, Año 5, No9, julio-diciembre de 2010, p. 55.
- **Mosquera, K.**, 2014: Ondas Kelvin oceánicas y un modelo oceánico simple para su diagnóstico y pronóstico, Boletín Técnico "Generación de modelos climáticos para el pronóstico de la ocurrencia del Fenómeno El Niño", Instituto Geofísico del Perú, Enero, 1, 1, 4-7
- **Reupo, J., y Takahashi, K.**, 2014: Validación de pronósticos con modelos globales: Correlaciones de TSM (1982-2010). Boletín Técnico "Generación de modelos climáticos para el pronóstico de la ocurrencia del Fenómeno El Niño", Instituto

Geofísico del Perú, Enero, 1, 1, 8-9.

- **Sulca, J., Takahashi, K., Espinoza, J.C.,** Vuille, M. and Lavado-Casimiro, W., 2017: Impacts of different ENSO flavors and tropical Pacific convection variability (ITCZ, SPCZ) on austral summer rainfall in South America, with a focus on Peru. *Int. J. Climatol.* Doi:10.1002/joc.5185
- **Takahashi, K.,** 2017: Verificación de los pronósticos probabilísticos de El Niño y La Niña costeros. Boletín Técnico "Generación de modelos climáticos para el pronóstico de la ocurrencia del Fenómeno El Niño", Instituto Geofísico del Perú, 4 (8), 8-9.
- **Takahashi, K., Martínez, A. G.,** 2016: The very strong El Niño in 1925 in the far-eastern Pacific. *Climate Dynamics*, doi: 10.1007/s00382-017-3702-1.
- Thoma M, Greatbatch R, Kadow C, Gerdes R, 2015: Decadal hindcasts initialized using observed surface wind stress: Evaluation and prediction out to 2024. *Geophys. Res. Lett.* doi:10.1002/2015GL064833

Nota: Los Boletines Técnicos del IGP citados se pueden encontrar en:
<http://www.met.igp.gob.pe/elnino/boletines.html>

Equipo

Kobi Mosquera, Dr. (responsable)

Jorge Reupo, Lic.

Agradecimientos

A la Dra. Emily Becker (NOAA) y al Dr. Ben Kirtman (RSMAS) por su apoyo con los datos del proyecto NMME, a la Dra. Michelle L'Heureux (NOAA CPC) por su apoyo con los datos de Niño 1+2 para el cálculo del ICEN.

Figuras

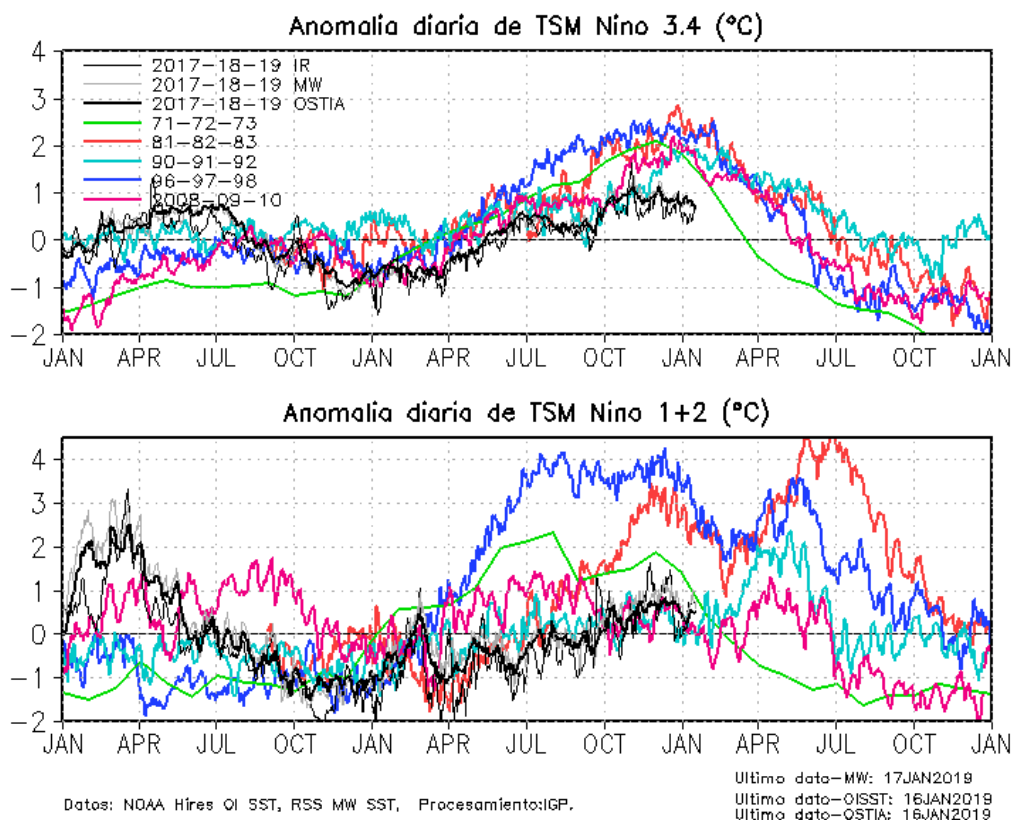


Figura 1. Series de tiempo de la anomalía diaria de la TSM en la región Niño 3.4 (arriba) y en la región Niño 1+2 (abajo). Las líneas en color negro (gruesa), gris y negro (fina) indican la evolución de la anomalía de la TSM en el presente año usando información infrarroja (IR), microondas (MW) y del producto OSTIA, respectivamente. Las líneas de color rojo, azul, celeste y verde, indican la evolución de la anomalía de la TSM para los años de Niña costera 1985, 2007, 2010 y 1988. Elaboración: IGP.

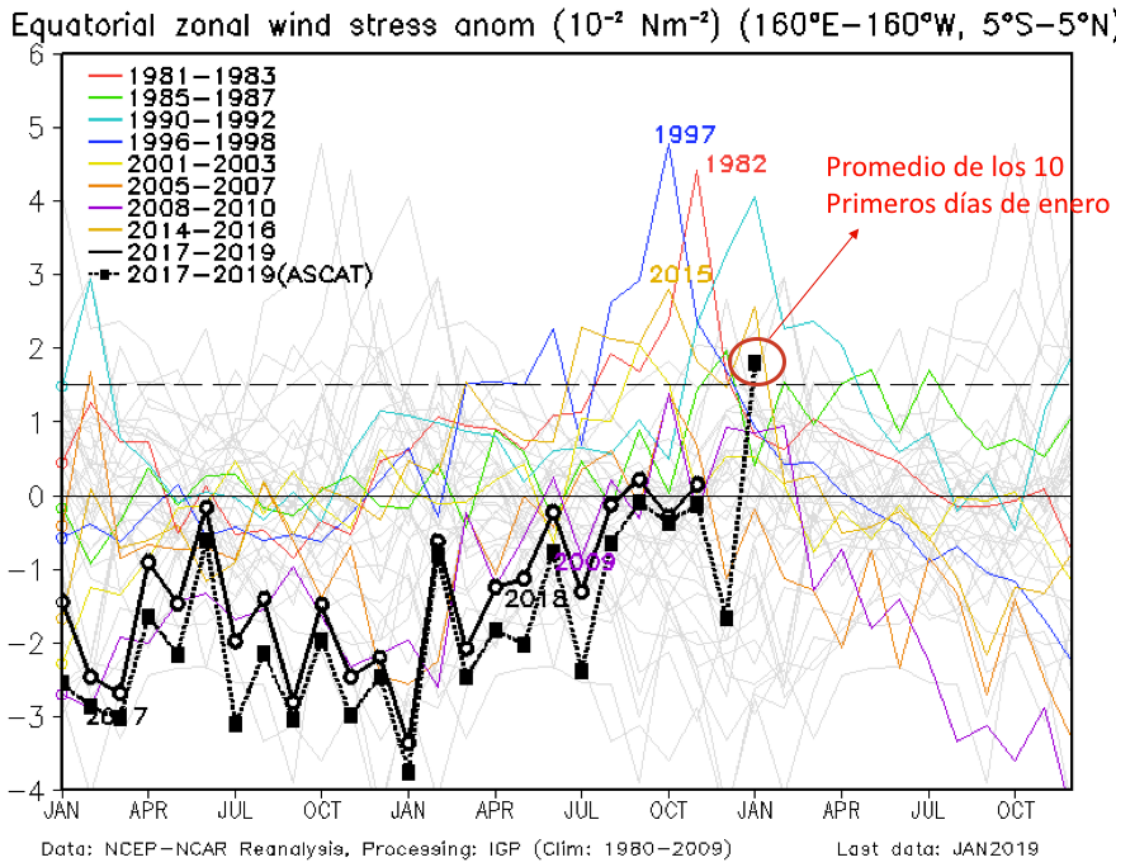


Figura 2. Promedio de la anomalía del esfuerzo de viento zonal en el Pacífico Ecuatorial ($160^{\circ}\text{E}-160^{\circ}\text{W}$ y $5^{\circ}\text{S}-5^{\circ}\text{N}$) obtenido de los datos de ASCAT. Elaboración: IGP.

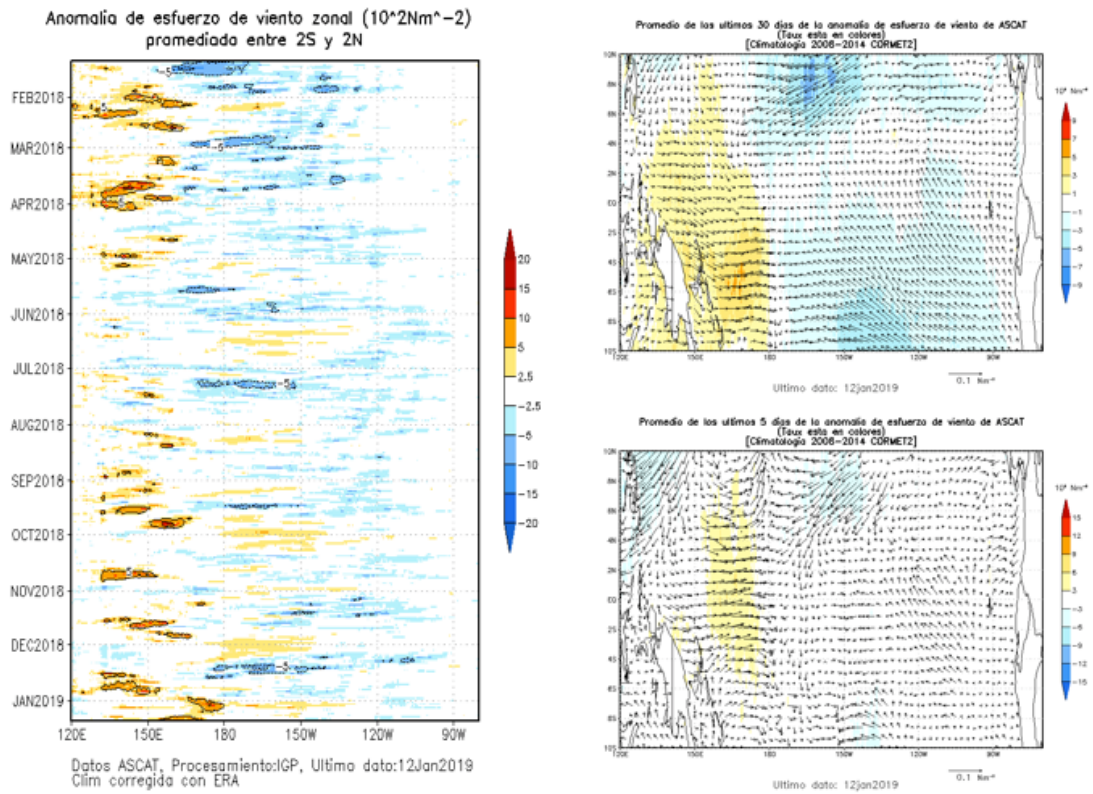


Figura 3. Izquierda: Diagrama longitud-tiempo de las anomalías de esfuerzo de viento zonal ecuatorial basado en datos del escaterómetro ASCAT. Derecha (superior): Mapa del promedio de 30 días. Derecha (inferior): Mapa del promedio de 5 días, hasta el 12 de enero de 2018, incluyendo los vectores de esfuerzo zonal (Elaboración: IGP).

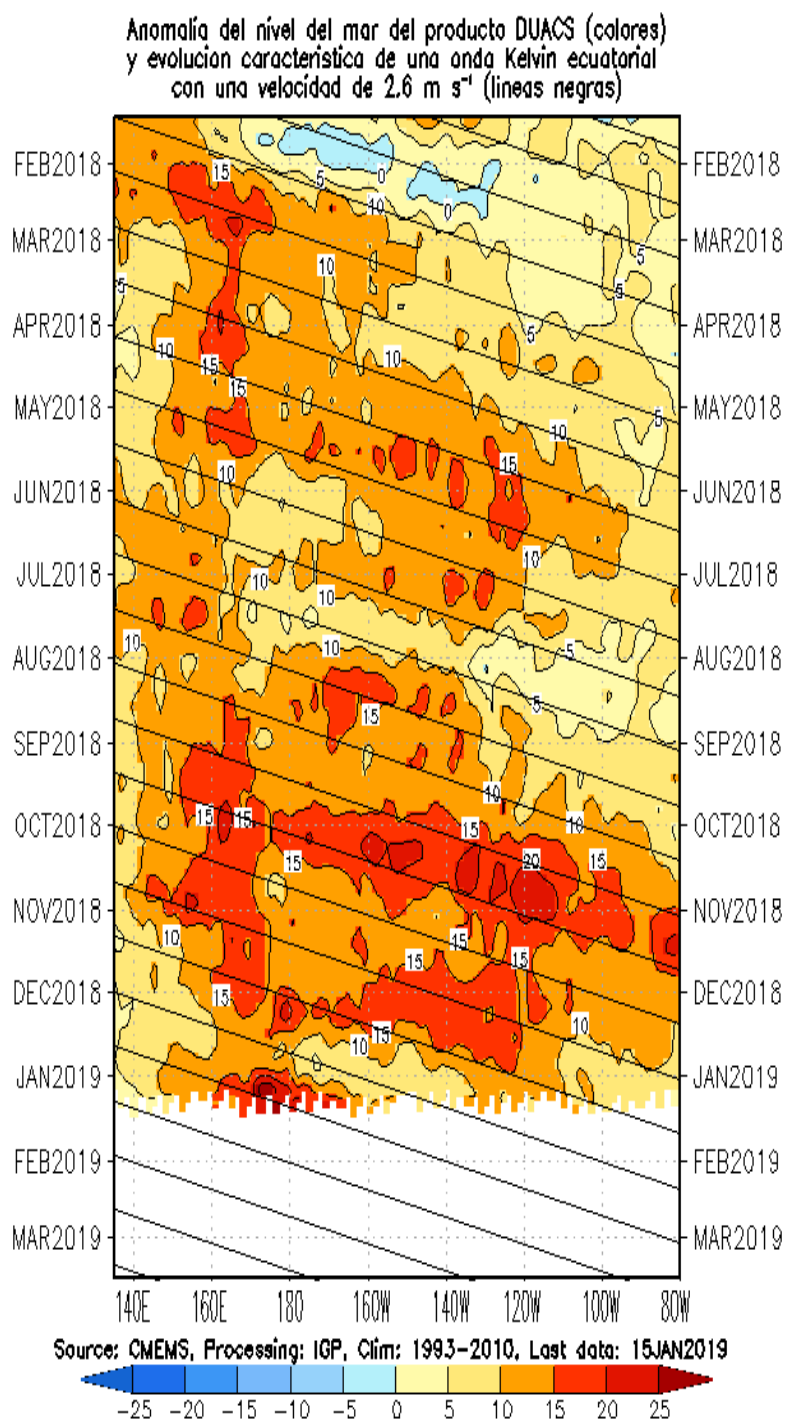


Figura 4. Anomalia del Nivel medio del mar en el Pacifico ecuatorial
Producto DUACS.
Elaboración IGP

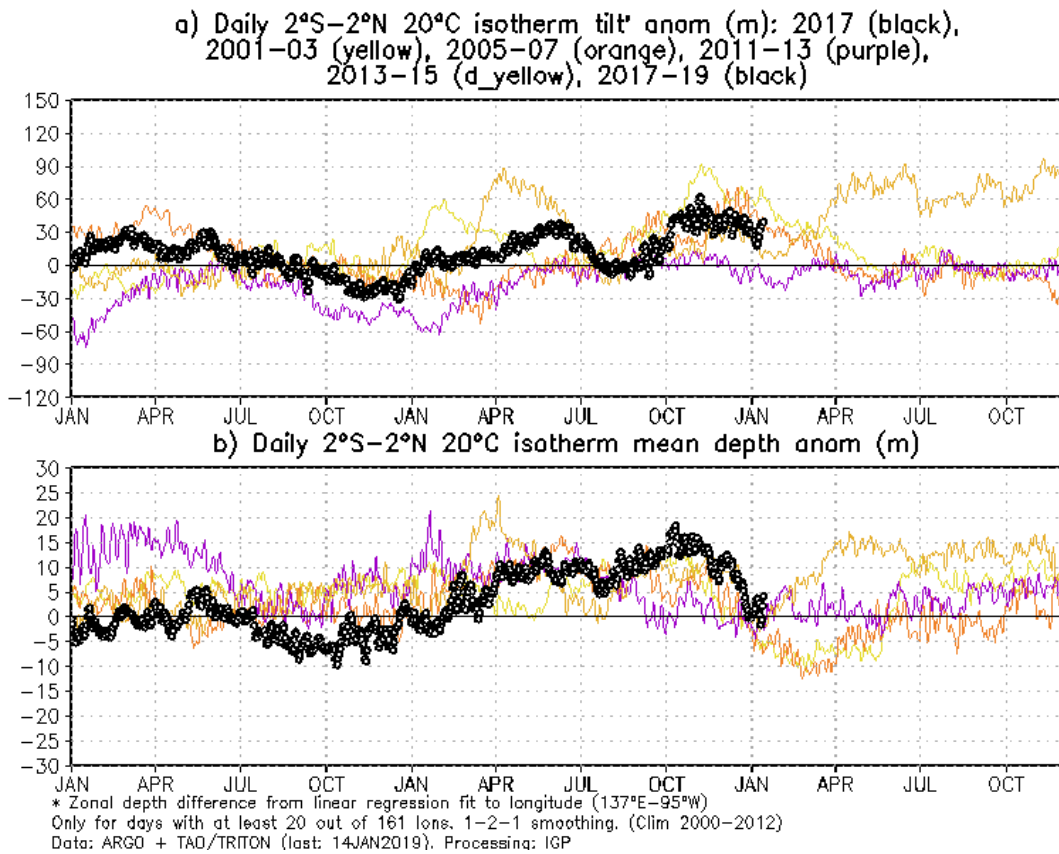


Figura 5 a) Inclinación de la termoclina en el Pacífico ecuatorial basado en los datos de ARGO entre 2°N y 2°S. **b)** Contenido de calor en la región ecuatorial basado en los datos de las boyas TAO entre 2°N y 2°S. A diferencia de informes anteriores. Elaboración: IGP.

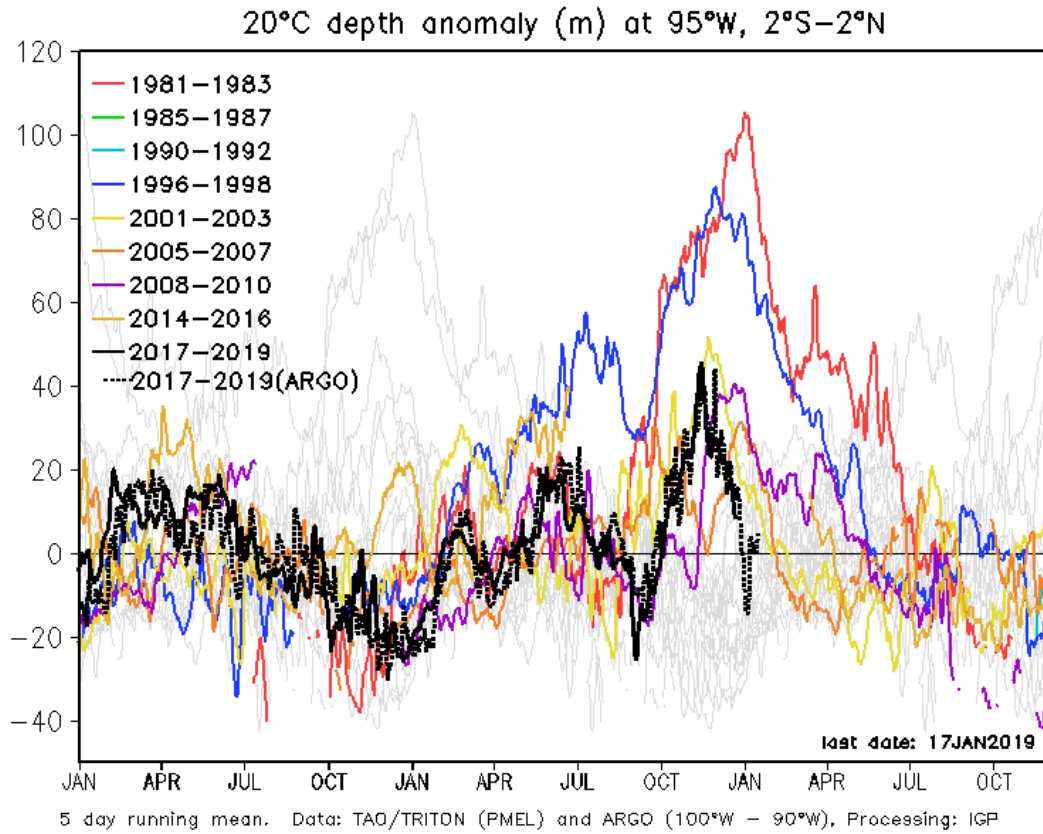


Figura 6. Anomalía de la profundidad de la isoterma de 20 °C (m) en 95° W ,2°S-2°N, con datos de ARGO.
Fuente: IGP

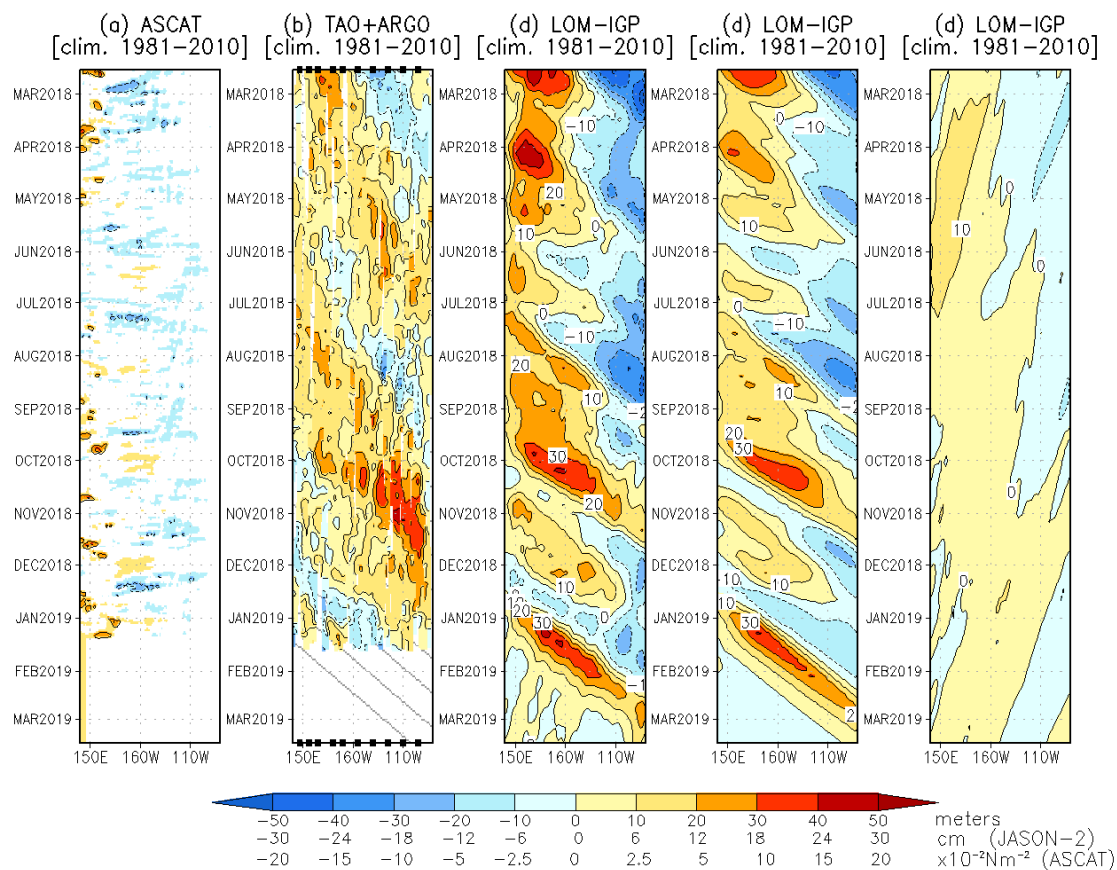


Figura 7. Diagrama longitud-tiempo de las anomalías de esfuerzo de viento zonal ecuatorial basado en datos del escaterómetro ASCAT (a), anomalía de la profundidad de la isoterma de 20°C datos de TAO y los derivados de ARG0 (b), diagrama de la onda Kelvin y Rossby (c), diagrama de la onda Kelvin (d) y finalmente diagrama de la onda Rossby, calculada con el modelo LOM-IGP (forzado por ASCAT, y tau=0 para el pronóstico). Las líneas diagonales representan la trayectoria de una onda Kelvin si tuviera una velocidad de 2.6 m/s. (Elaboración: IGP)

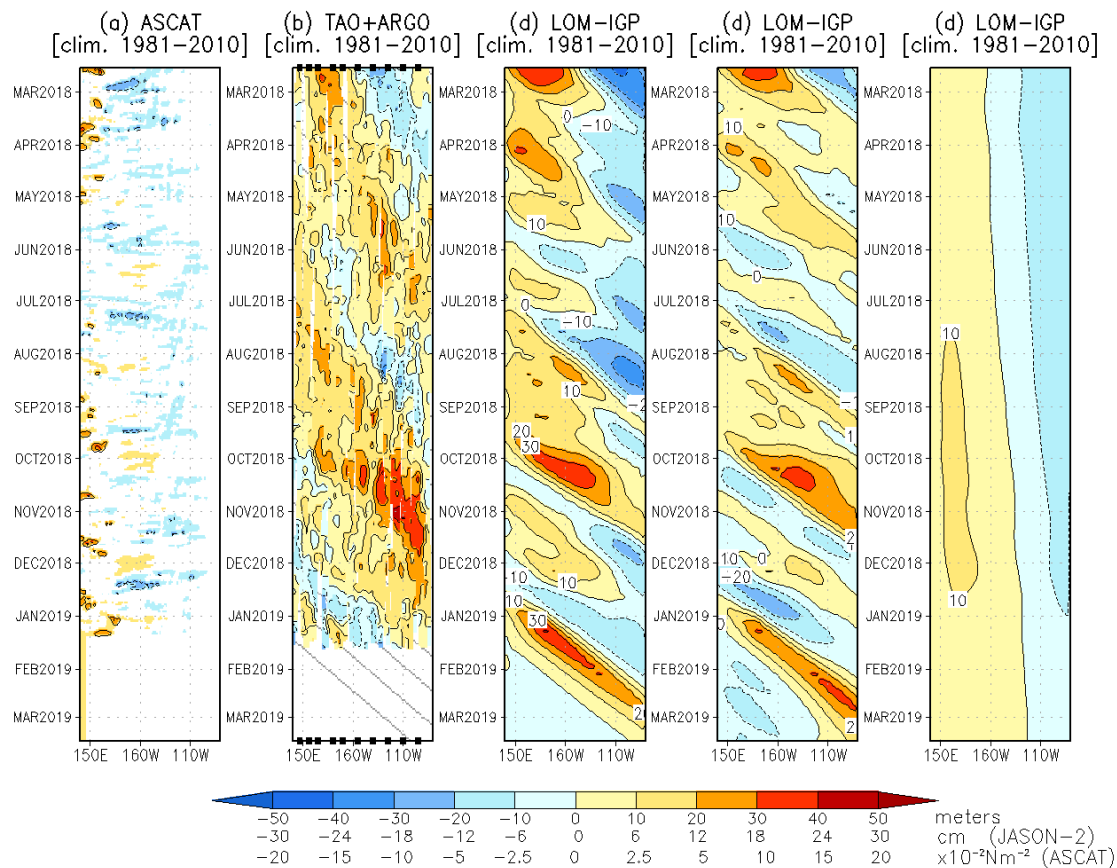


Figura 8. De izquierda a derecha: diagrama longitud-tiempo de las anomalías de esfuerzo de viento zonal ecuatorial basado en datos del escaterómetro ASCAT (primer panel); anomalía de la profundidad de la isoterma de 20°C de TAO y los derivados de ARGO (segundo panel); onda Kelvin (tercer panel), onda Kelvin intraestacional (cuarto panel), Onda Kelvin interanual multiplicado por un factor de dos (quinto panel). Las tres figuras de la derecha son resultados numéricos de un modelo oceánico lineal, forzado con información de vientos de ASCAT. Las líneas diagonales representan la trayectoria que tendría la onda Kelvin si tuviera una velocidad de 2.6 m/s. (Elaboración: IGP)

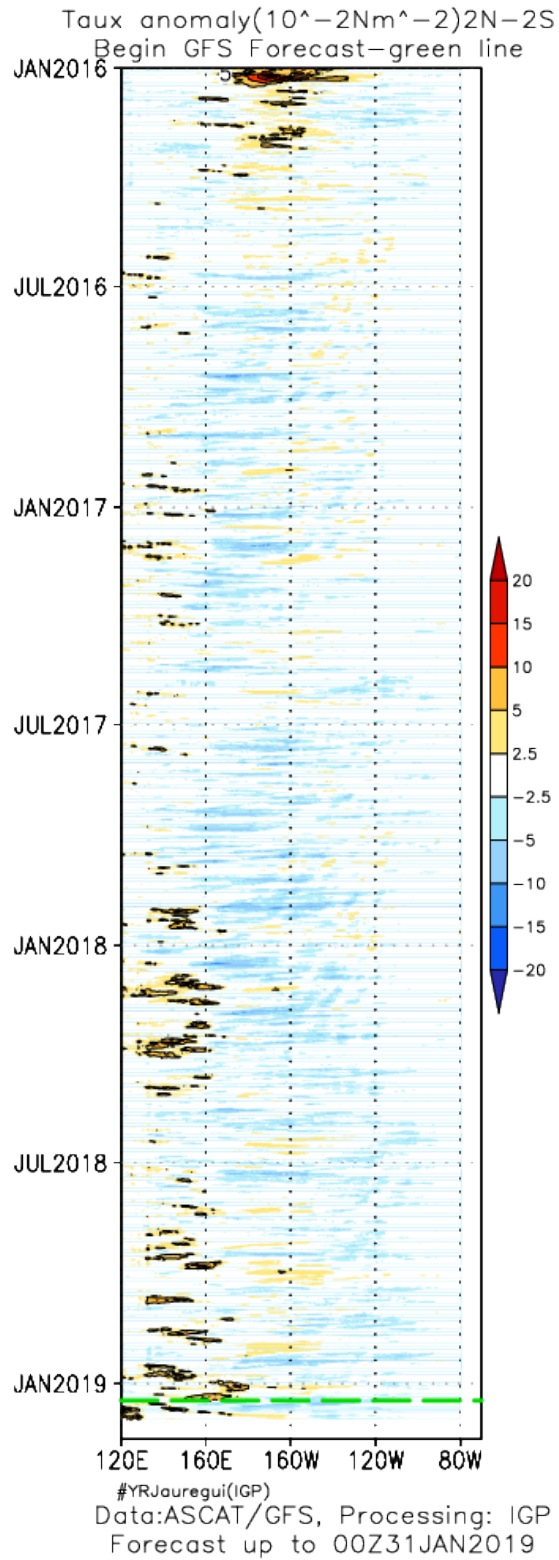


Figura 9: Pronóstico de vientos del modelo GFS en el Pacifico ecuatorial (2°N-2°S), hasta el 31 de enero de 2019.

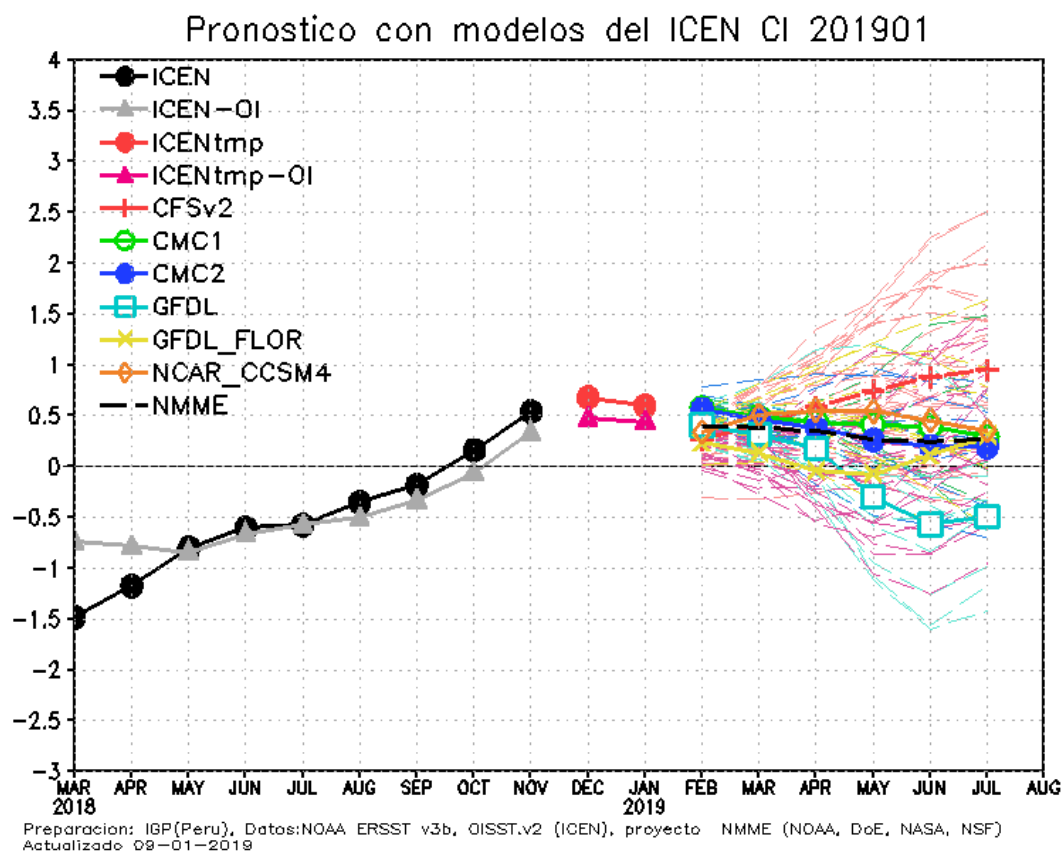


Figura 10. Índice Costero El Niño (ICEN negro con círculos llenos, fuente ERSSTv3; ICEN gris con triángulos, fuente OISSTv2) y sus valores temporales (ICENtmp, rojo con círculo lleno y ICENtmp-OI, rojo con triángulos llenos). Además, pronósticos numéricos del ICEN (media móvil de 3 meses de las anomalías pronosticadas de TSM en Niño 1+2) por diferentes modelos climáticos. Los pronósticos de los modelos CFSv2, CMC1, CMC2, GFDL, NASA_GEOS5v2 GFDL_FLOR y NCAR_CCSM4 tienen como condición inicial el mes de enero de 2019. (Fuente: IGP, NOAA, proyecto NMME).

Condiciones Iniciales de Enero 2019

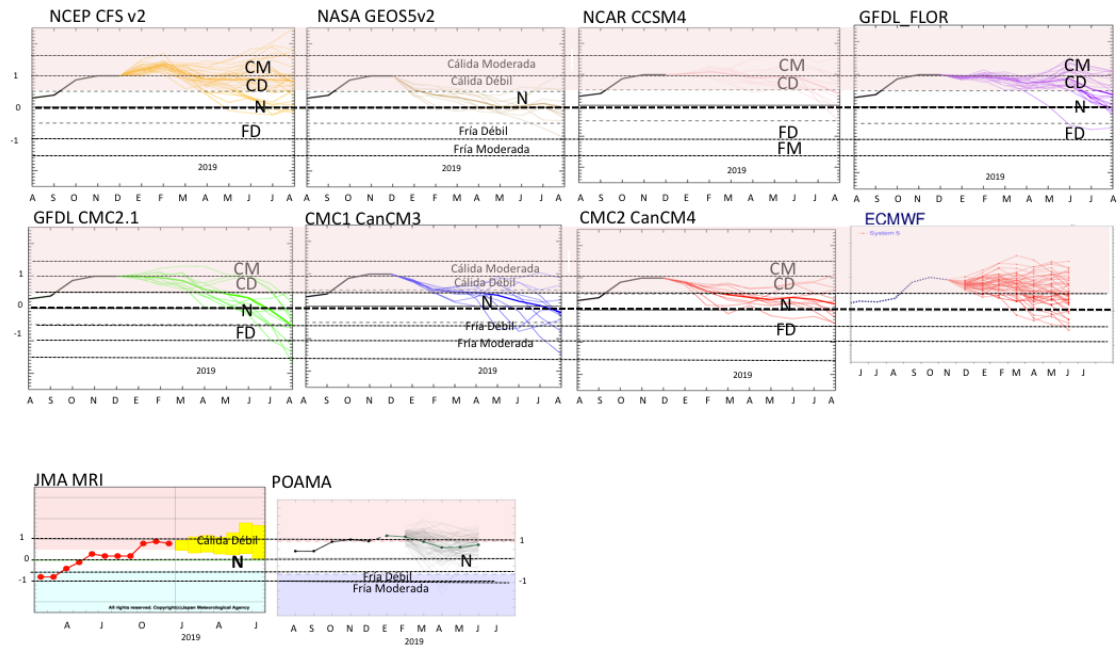


Figura 11. Índice Niño 3.4 mensual observado y pronosticado por los modelos de NMME y otros.